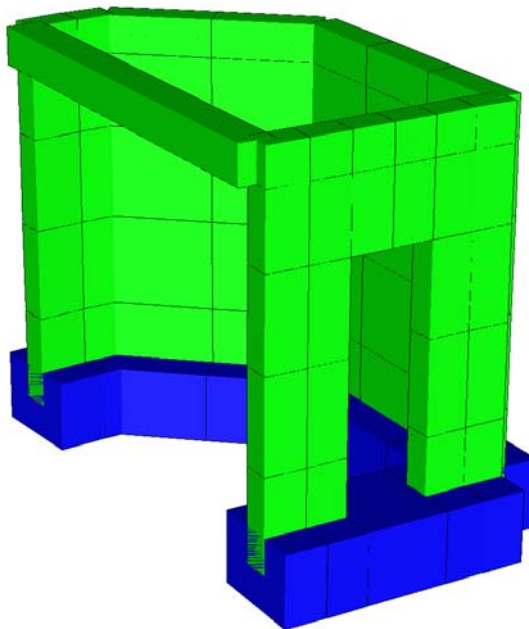
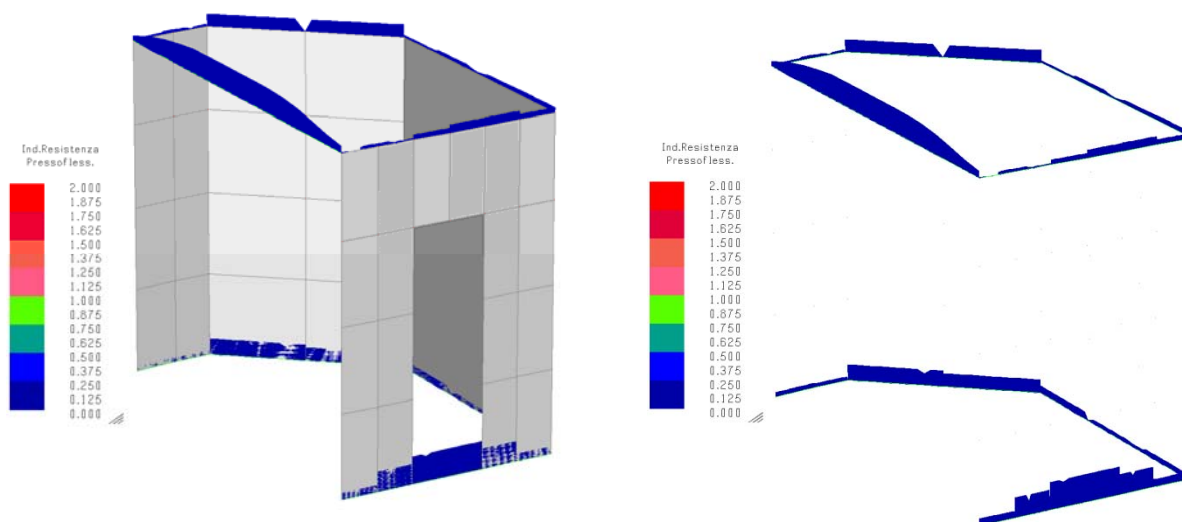


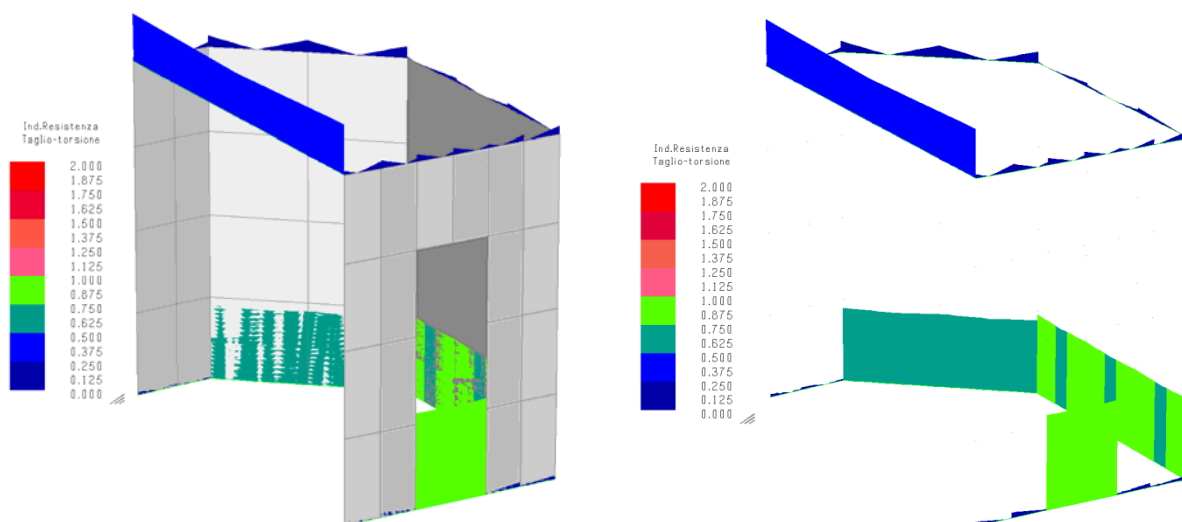
CORPO 4: geometria elementi resistenti in muratura (pareti) e c.a. (fondazione e cordoli)



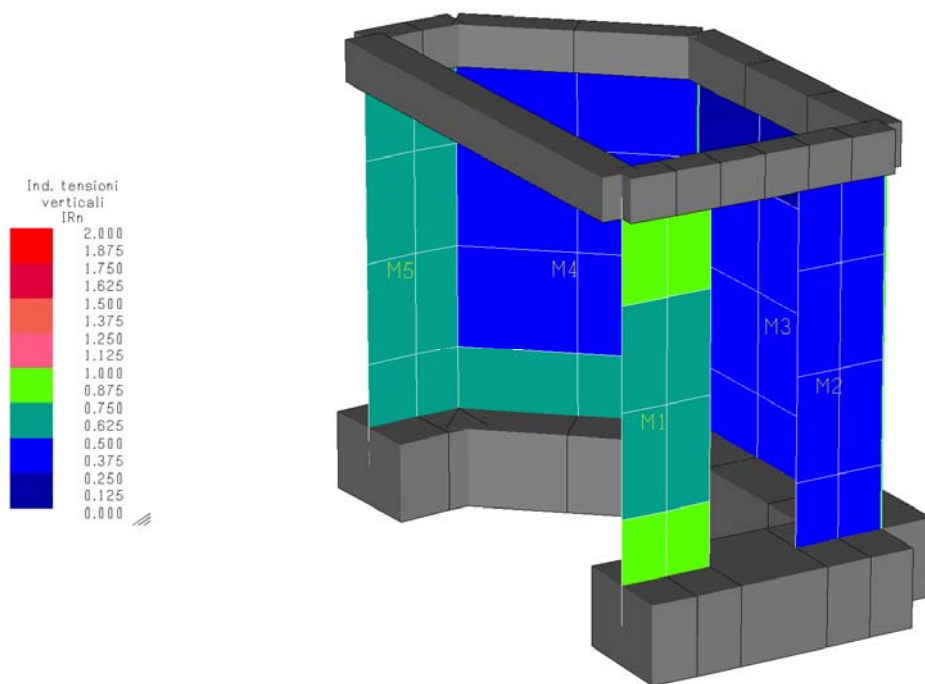
CORPO 4: indici di resistenza a pressoflessione per condizioni statiche slu: fondazione e cordoli in c.a.



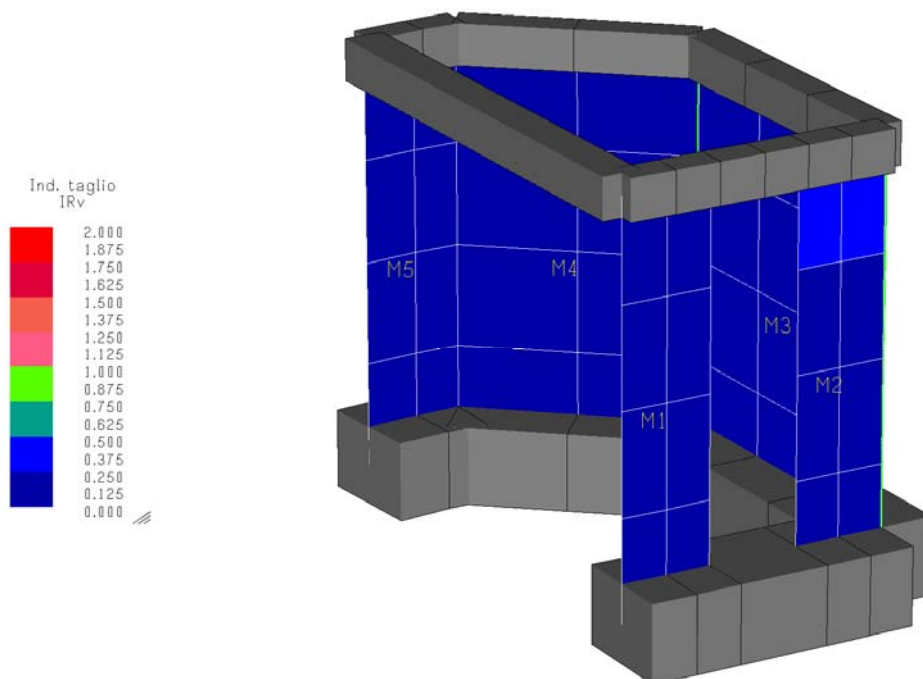
CORPO 4: indici di resistenza a taglio-torsione condizioni statiche slu: fondazione e cordoli in c.a.



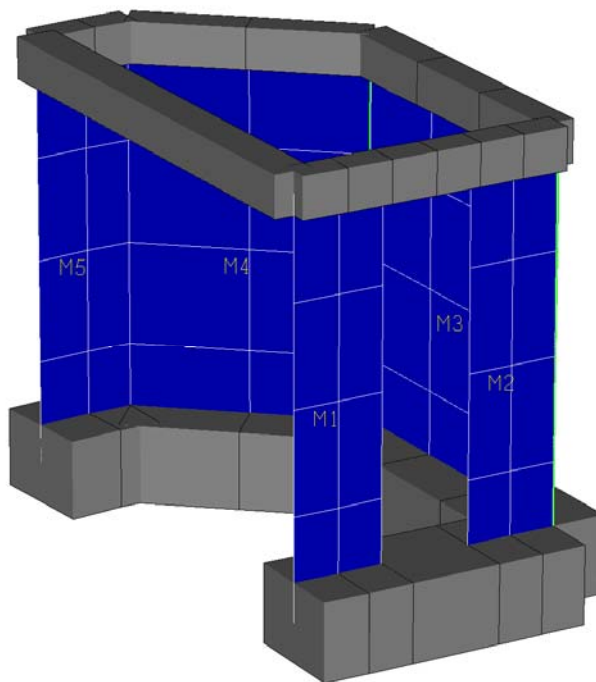
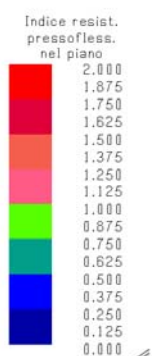
CORPO 4: indici di resistenza tensioni verticali condizioni statiche slu: maschi murari (M1÷M5)



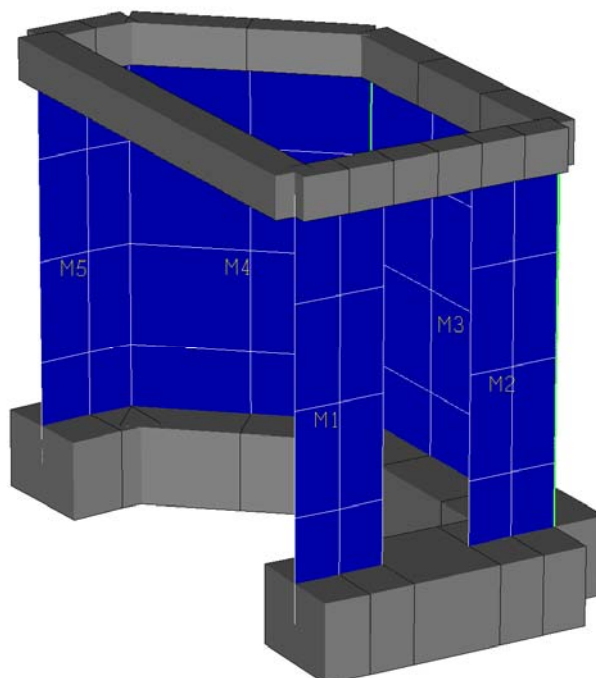
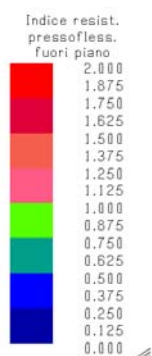
CORPO 4: indici di resistenza a taglio condizioni statiche slu: maschi murari (M1÷M5)



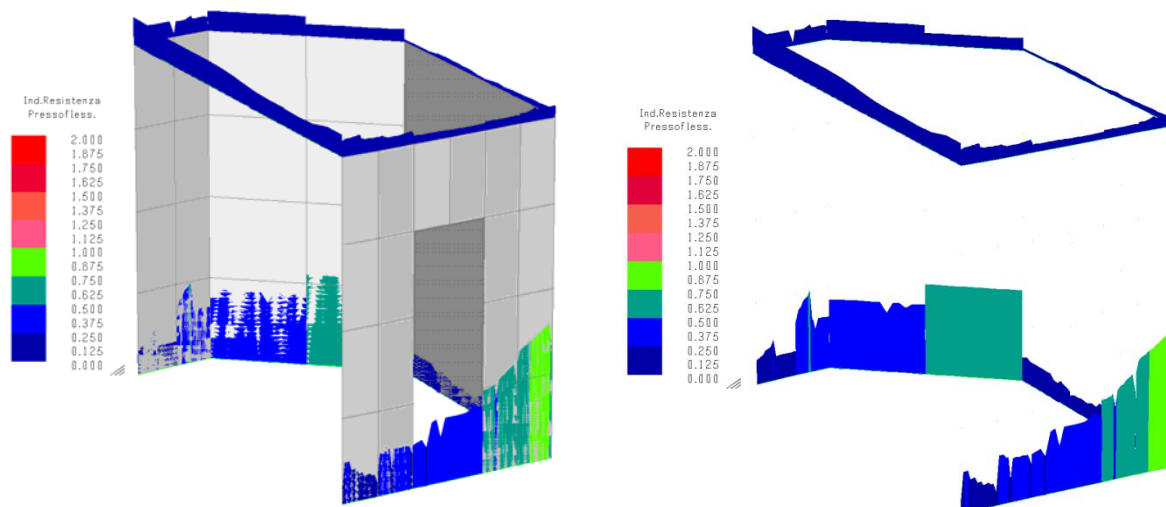
CORPO 4: indici di resistenza a pressoflessione nel piano condizioni statiche slu: maschi murari (M1÷M5)



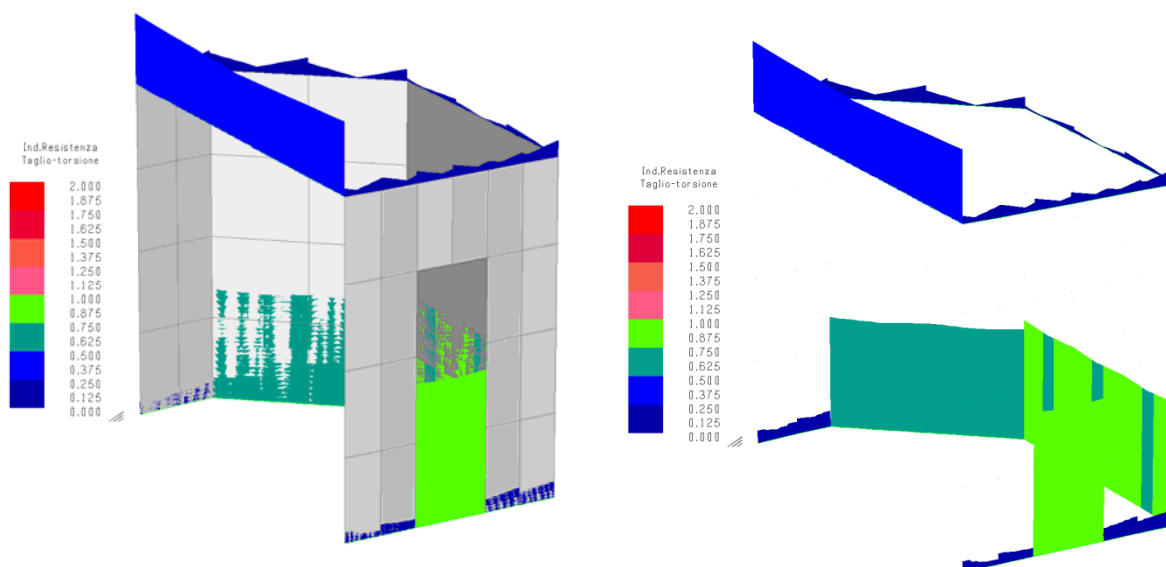
CORPO 4: indici di resistenza a pressoflessione fuori dal piano
condizioni statiche slu: maschi murari (M1÷M5)



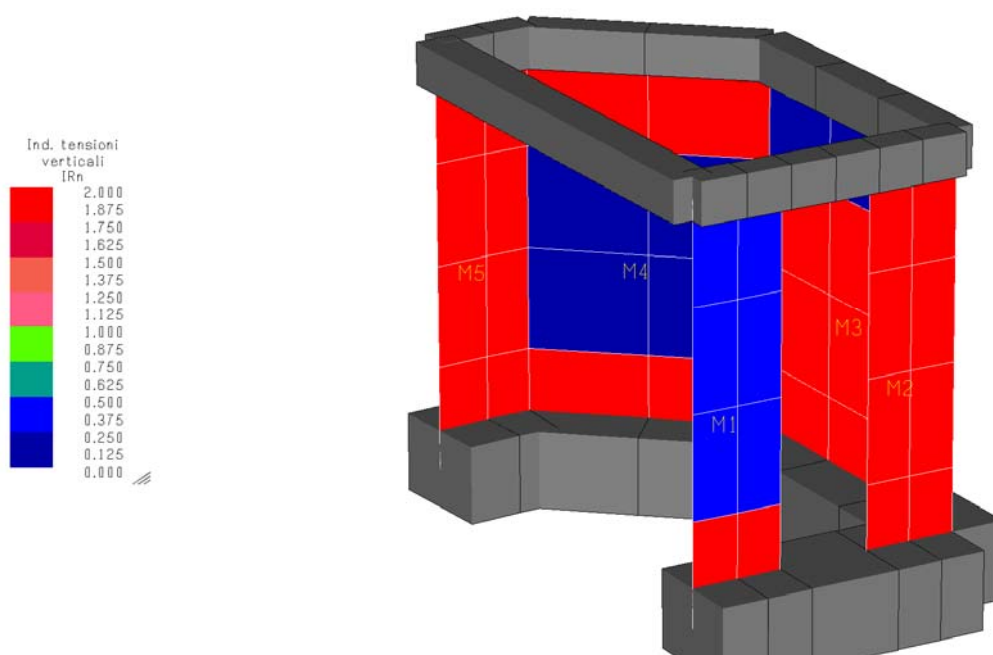
CORPO 4: indici di resistenza slv pressoflessione ($q=2.8$) analisi dinamica lineare
 T_R 949 anni: fondazione e cordoli in c.a.



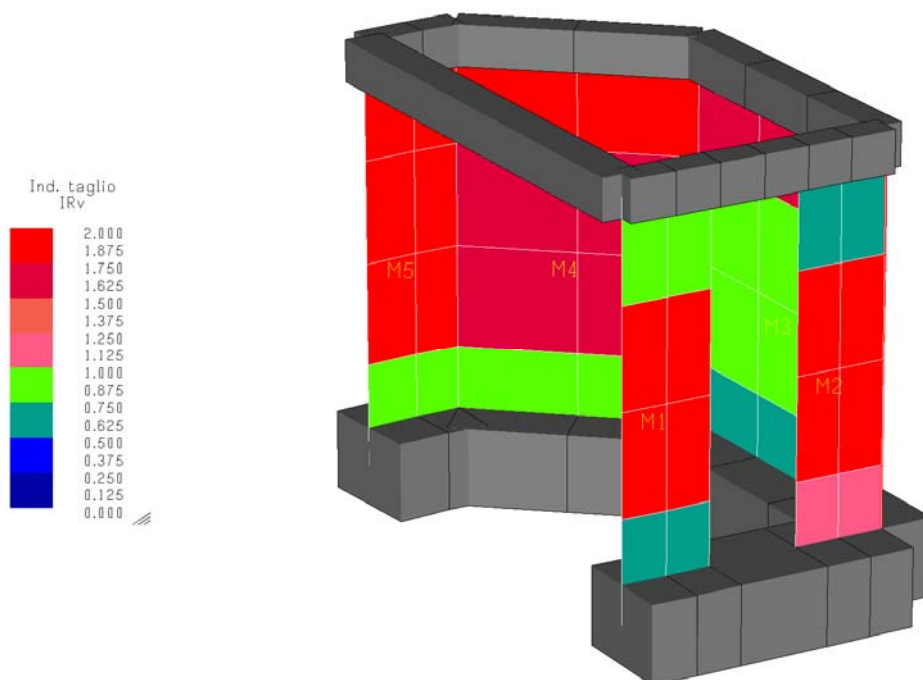
CORPO 4: indici di resistenza slv taglio-torsione ($q=2.8$) analisi dinamica lineare
 T_R 949 anni: fondazione e cordoli



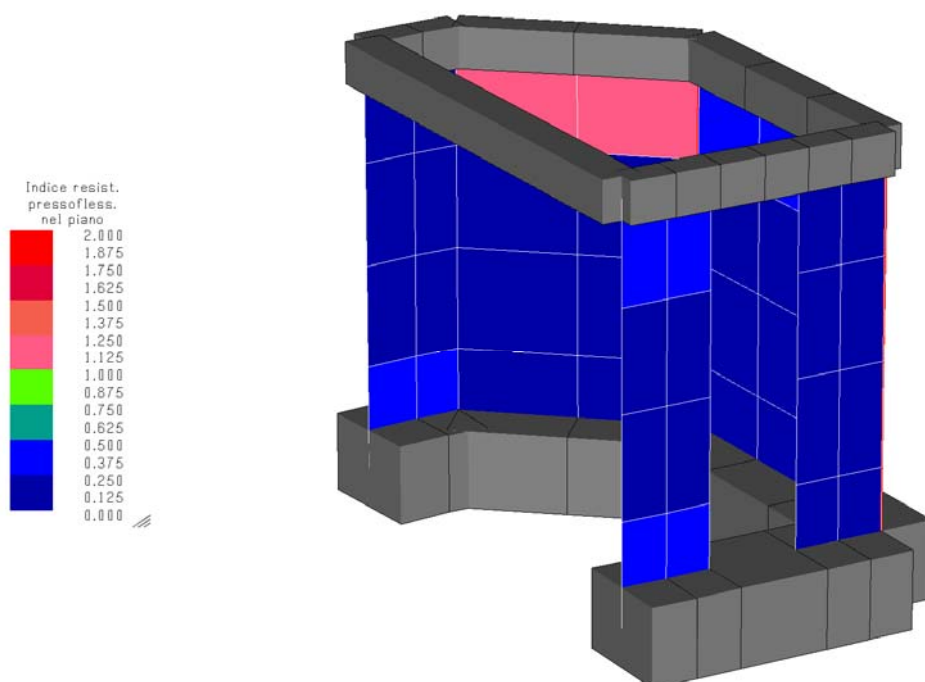
CORPO 4: indici di resistenza slv tensioni verticali ($q=2.8$) analisi dinamica lineare
 T_R 949 anni: maschi murari (M1÷M5)



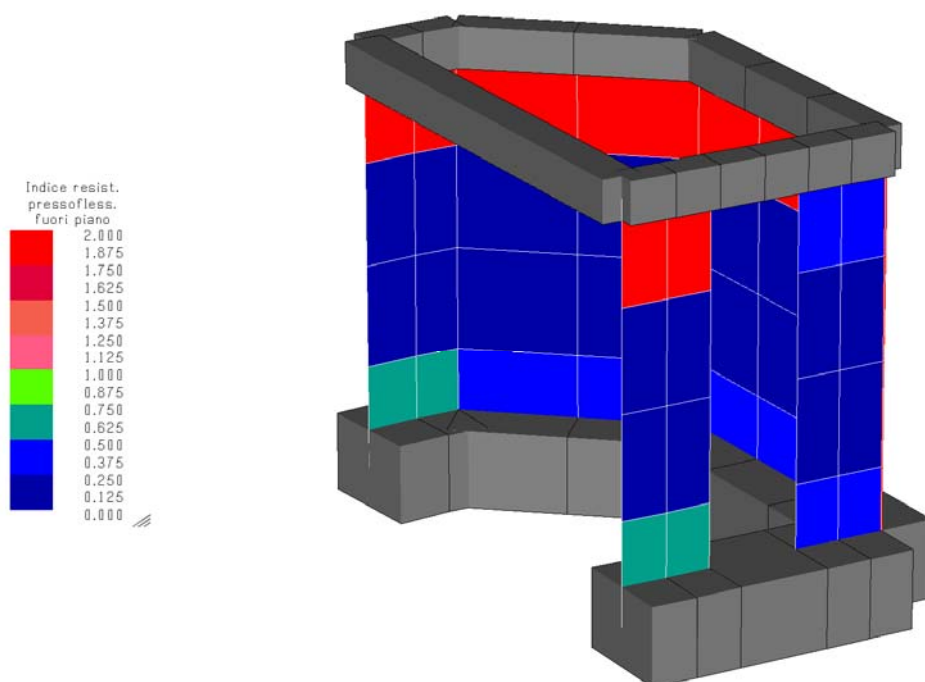
CORPO 4: indici di resistenza slv tensioni a taglio ($q=2.8$) analisi dinamica lineare
 T_R 949 anni: maschi murari (M1÷M5)



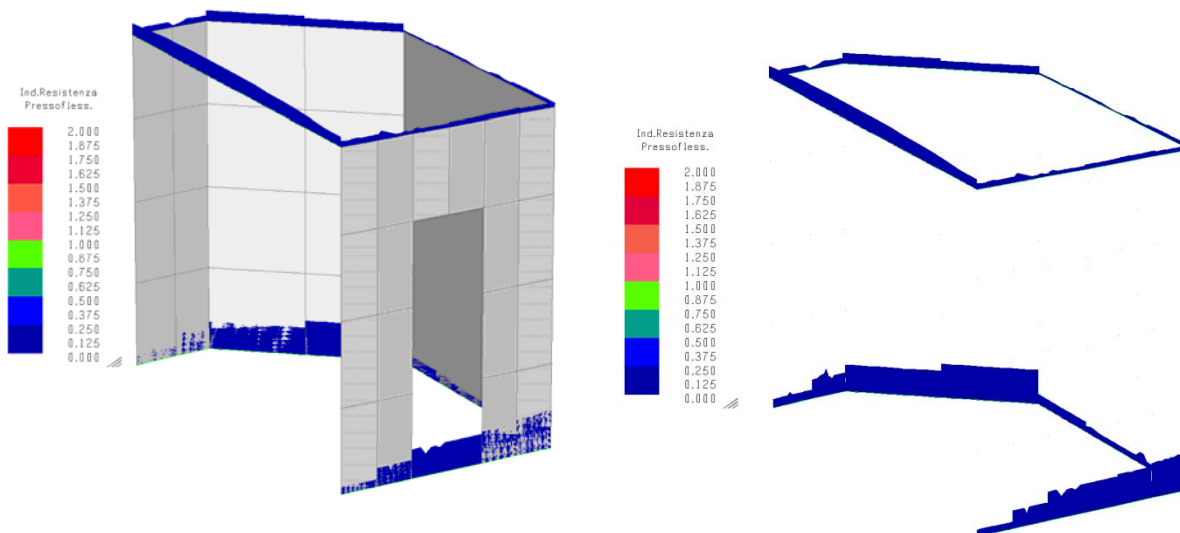
CORPO 4: indici di resistenza slv a pressoflessione nel piano ($q=2.8$) analisi dinamica lineare
 T_R 949 anni: maschi murari (M1÷M5)



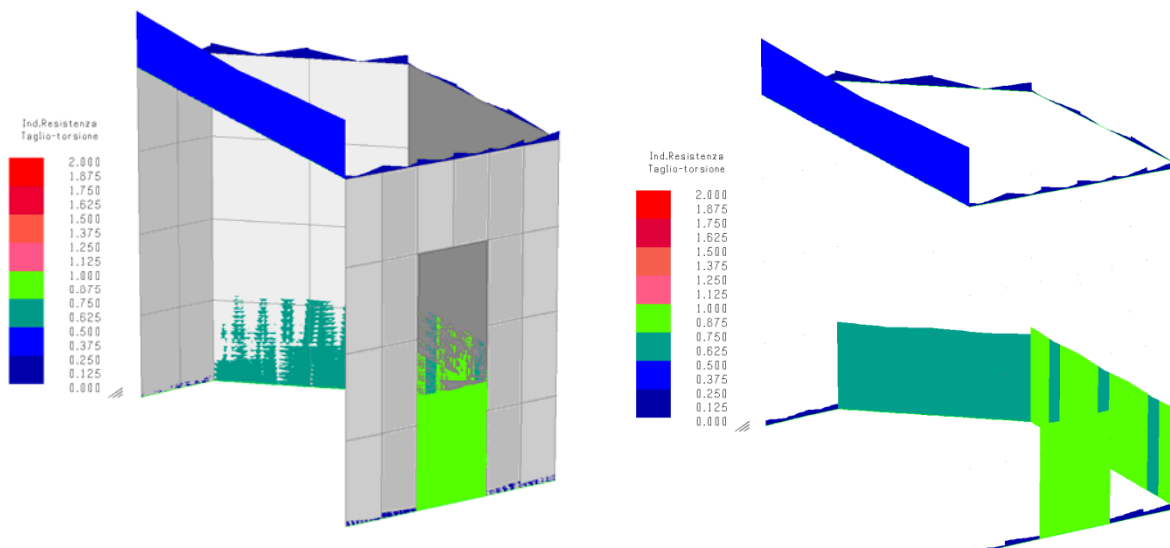
CORPO 4: indici di resistenza slv a pressoflessione fuori dal piano ($q=2.8$) analisi dinamica lineare
 T_R 949 anni: maschi murari (M1÷M5)



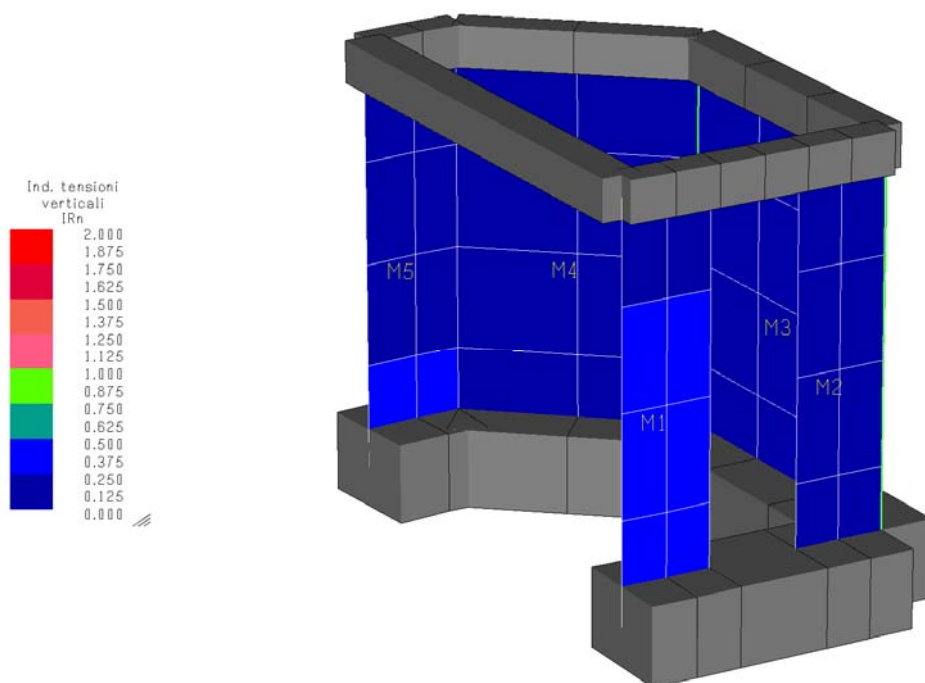
CORPO 4: indici di resistenza slv pressoflessione ($q=2.8$) analisi dinamica lineare
 T_R 72 anni: fondazione e cordoli in c.a.



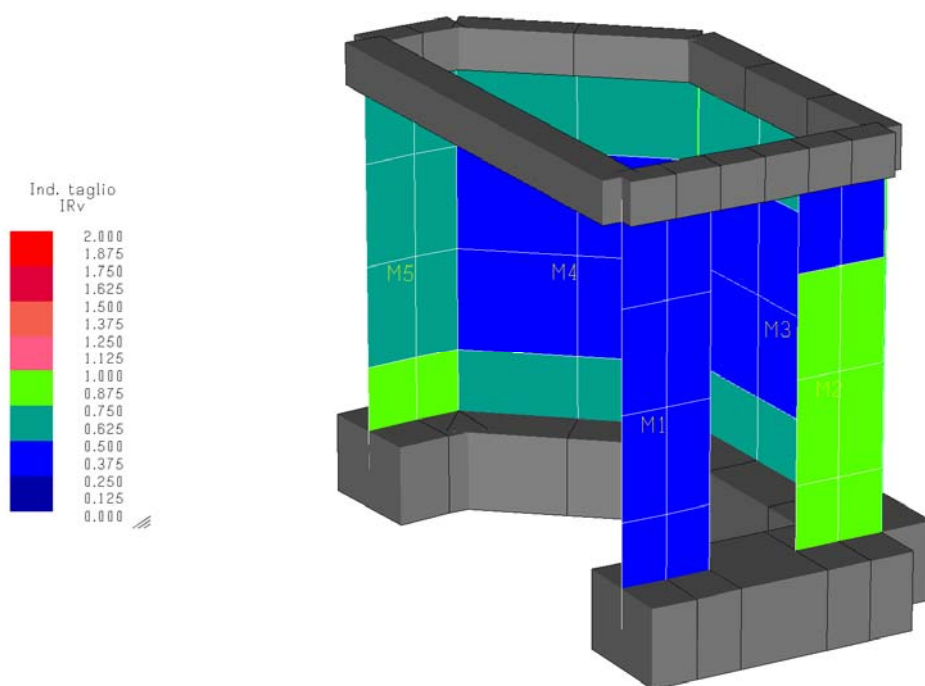
CORPO 4: indici di resistenza slv pressoflessione ($q=2.8$) analisi dinamica lineare
 T_R 72 anni: fondazione e cordoli in c.a.



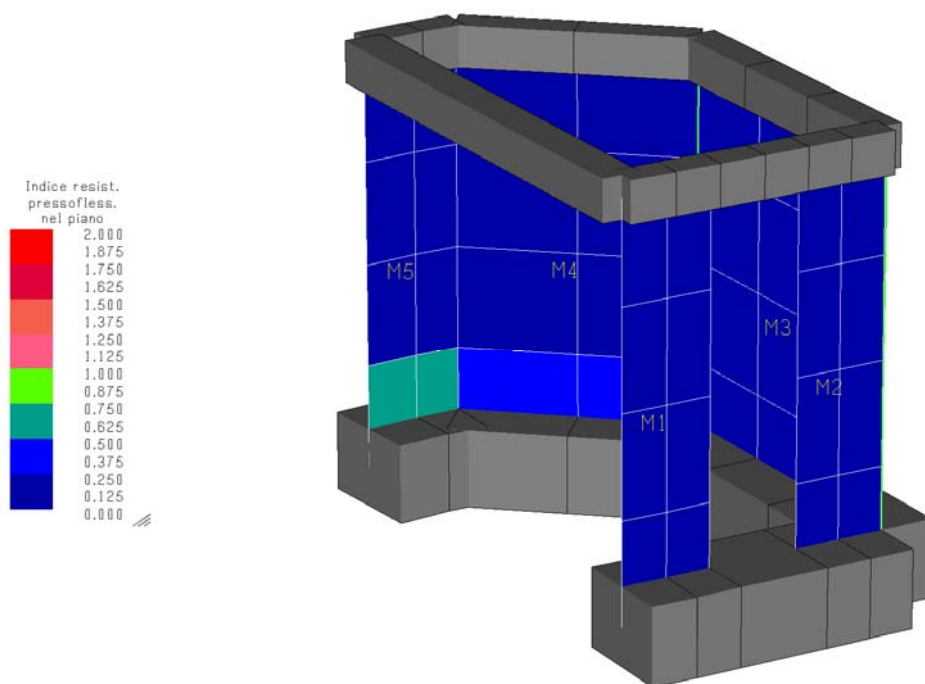
CORPO 4: indici di resistenza slv tensioni verticali ($q=2.8$) analisi dinamica lineare
 T_R 72 anni: maschi murari (M1÷M5)



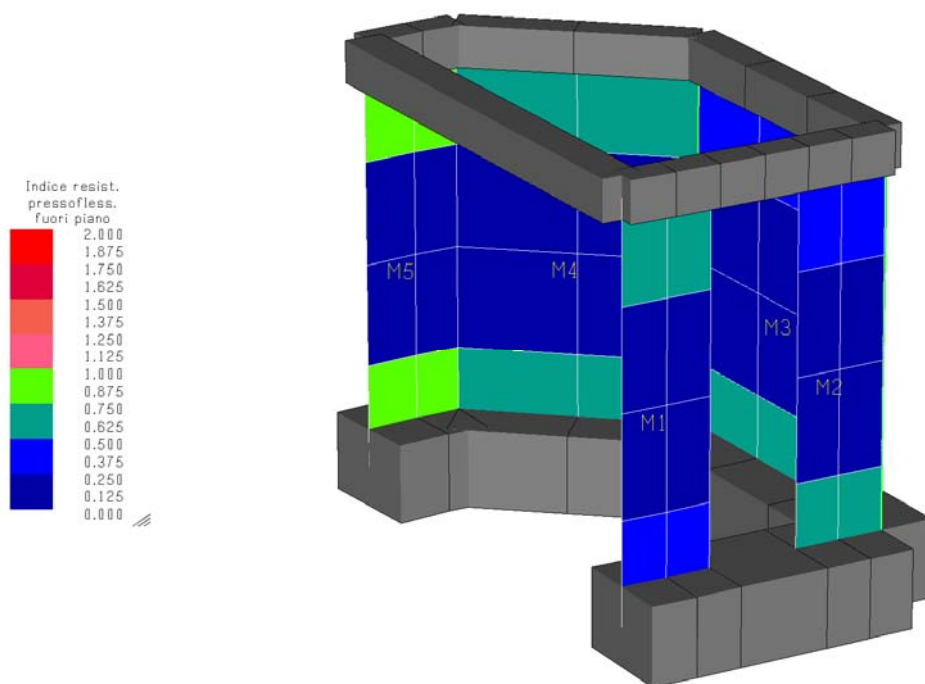
CORPO 4: indici di resistenza slv a taglio ($q=2.8$) analisi dinamica lineare
 T_R 72 anni: maschi murari (M1÷M5)



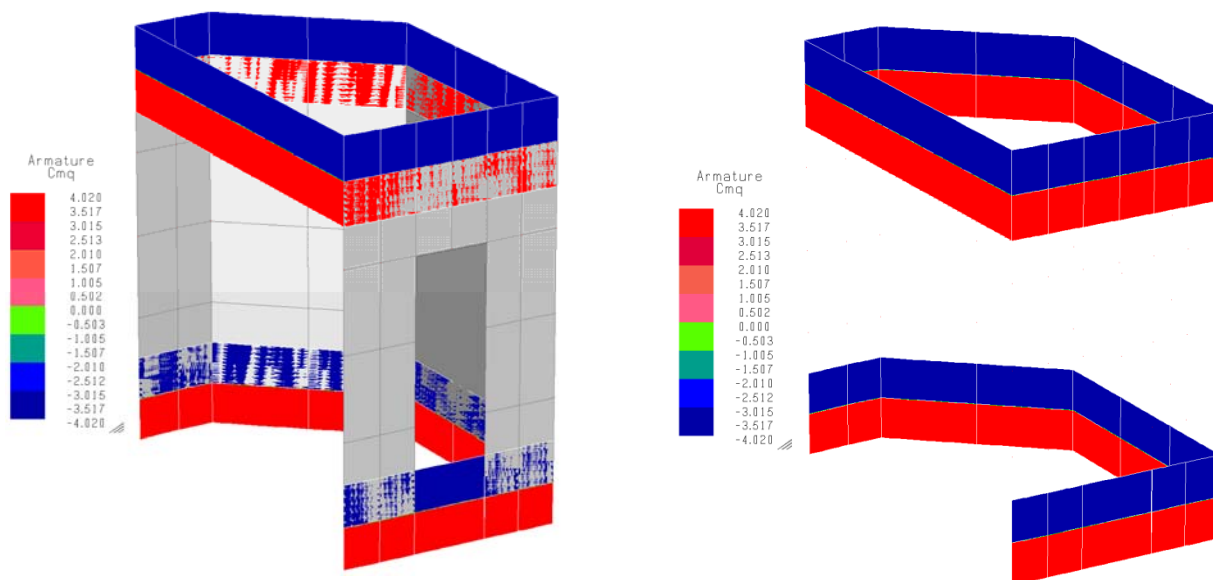
CORPO 4: indici di resistenza a pressoflessione nel piano ($q=2.8$) analisi dinamica lineare
 T_R 72 anni: maschi murari (M1÷M5)



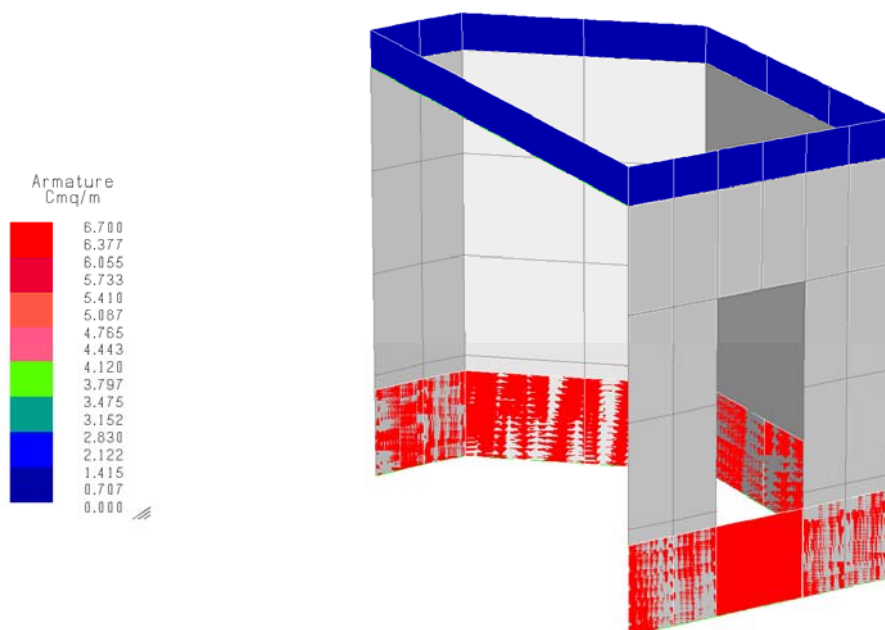
CORPO 4: indici di resistenza a pressoflessione fuori dal piano ($q=2.8$) analisi dinamica lineare
 T_R 72 anni: maschi murari (M1÷M5)



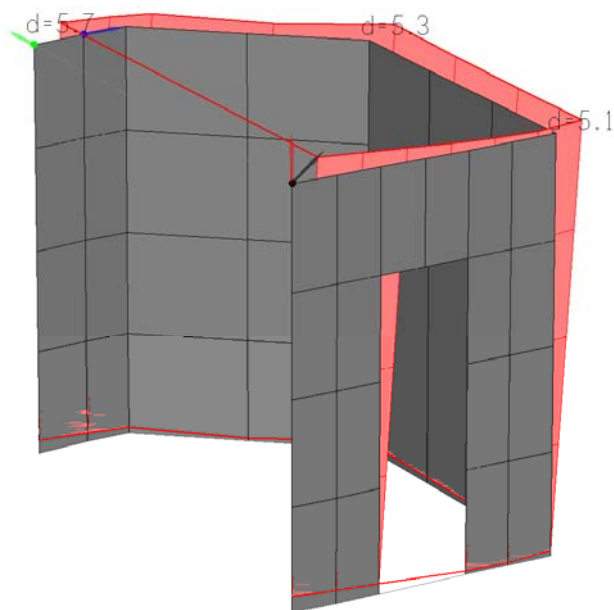
CORPO 4: armatura esistente inferiore e superiore negli elementi in c.a.



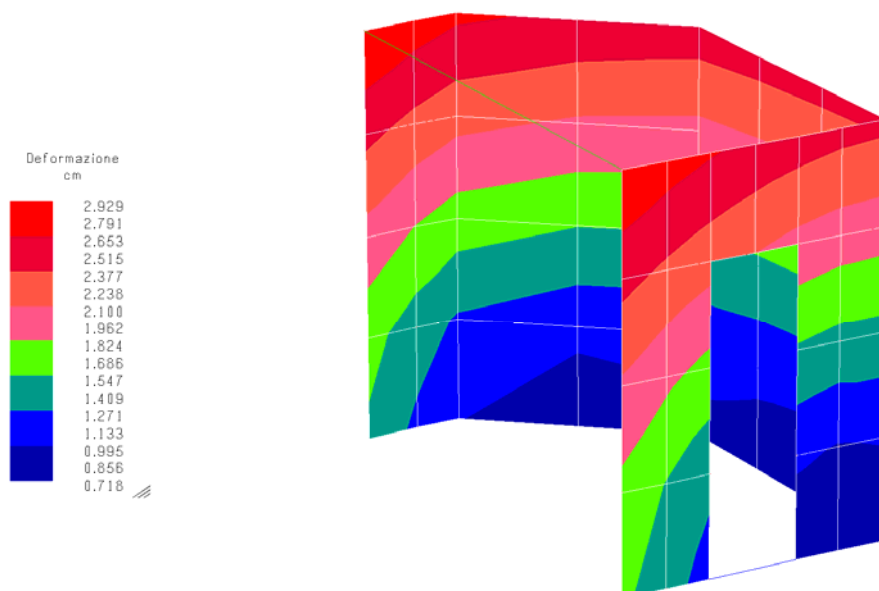
CORPO 4: armatura esistente trasversale negli elementi in c.a.



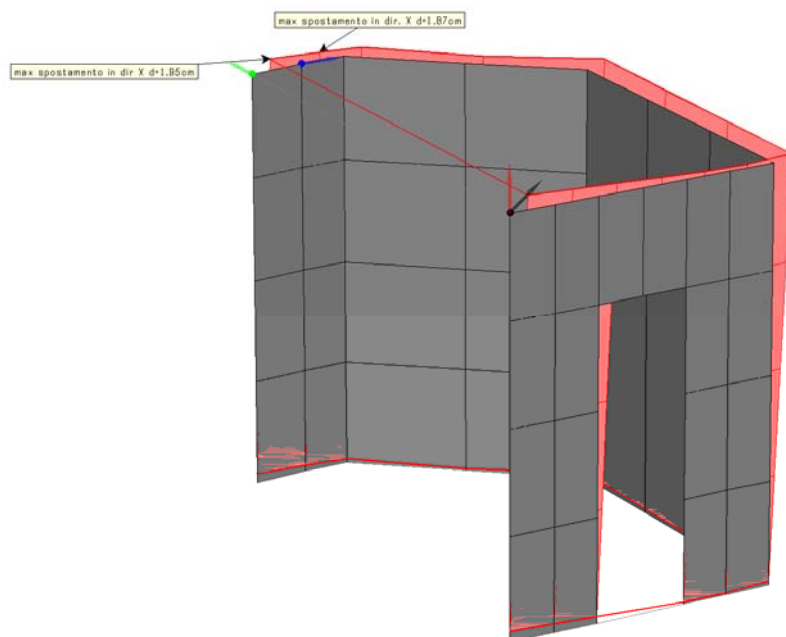
CORPO 4: valutazione degli spostamenti d_E sotto l'azione sismica allo slv Tr 949 anni



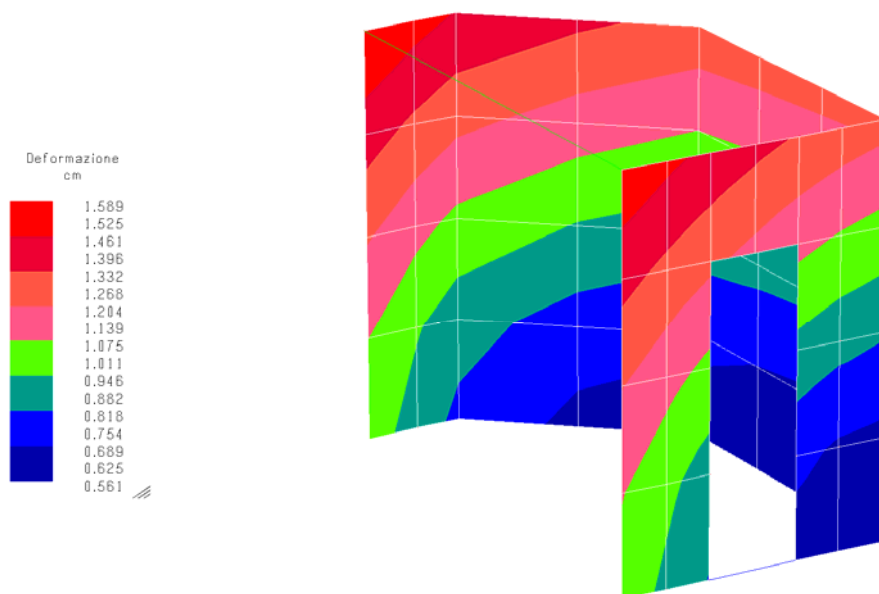
CORPO 4: valutazione della deformata assoluta sotto l'azione sismica allo slv Tr 949 anni



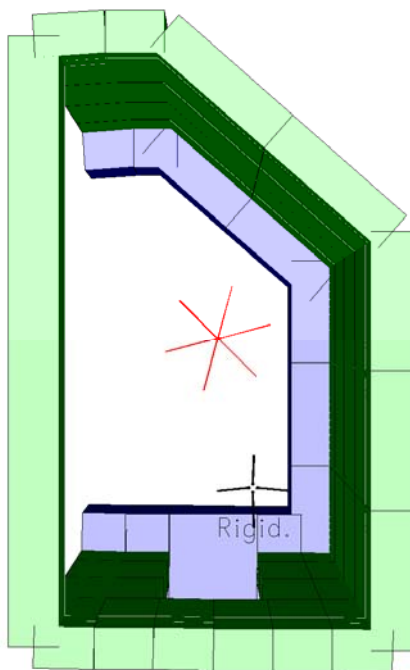
CORPO 4: valutazione degli spostamenti d_E sotto l'azione sismica allo slv Tr 72 anni



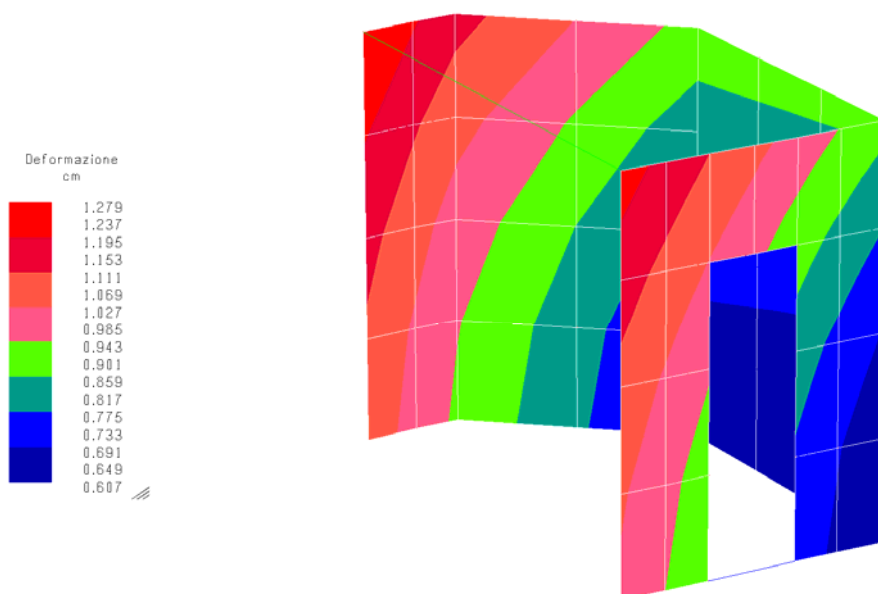
CORPO 4: valutazione della deformata assoluta sotto l'azione sismica allo slv Tr 72 anni



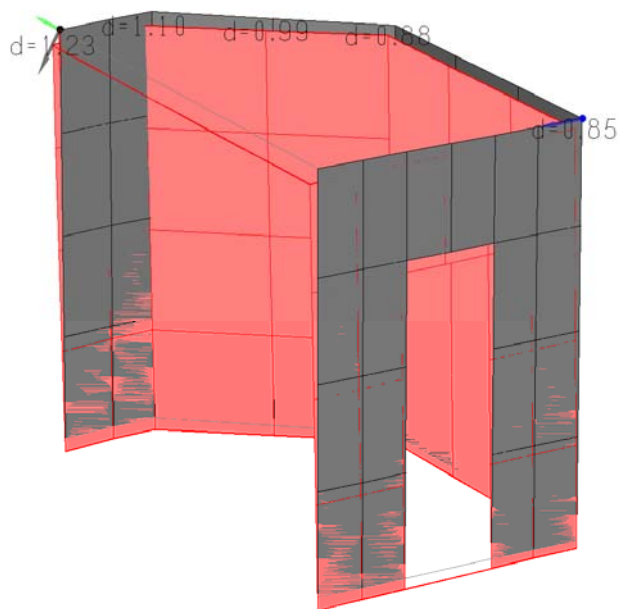
CORPO 4: valutazione del baricentro delle rigidezze e del baricentro delle masse



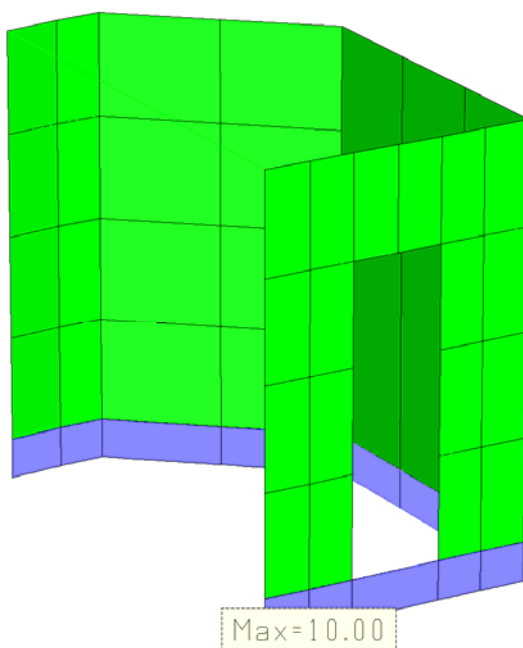
CORPO 4: valutazione della deformata assoluta in condizioni statiche



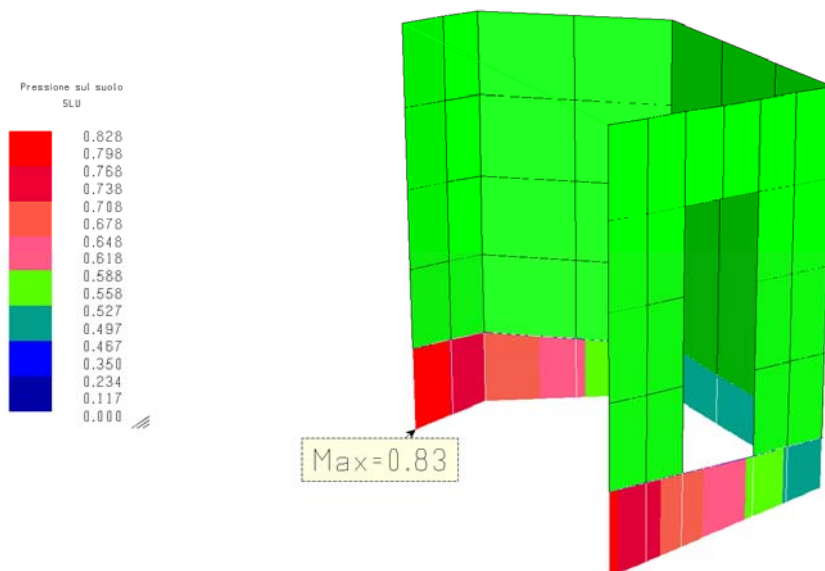
CORPO 4: valutazione della deformata in condizioni statiche



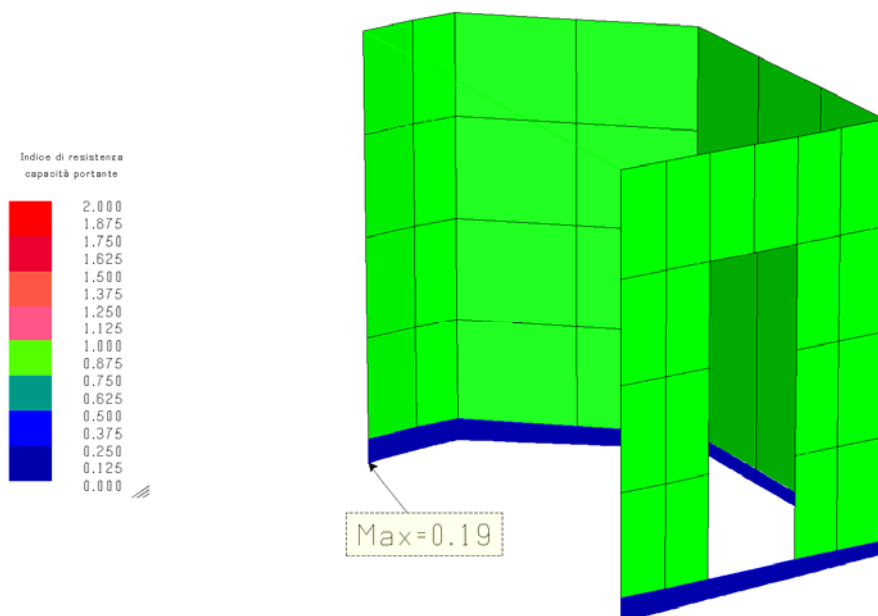
CORPO 4: carico limite ultimo in condizioni statiche breve termine Brinch-Hansen



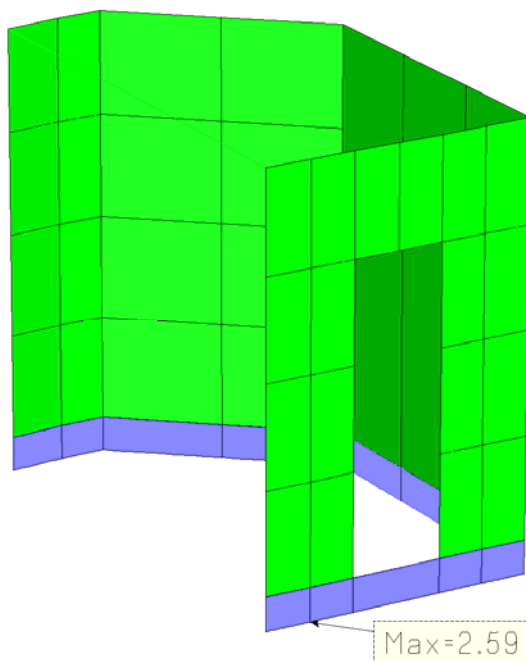
CORPO 4: pressione su suolo in condizioni statiche slU



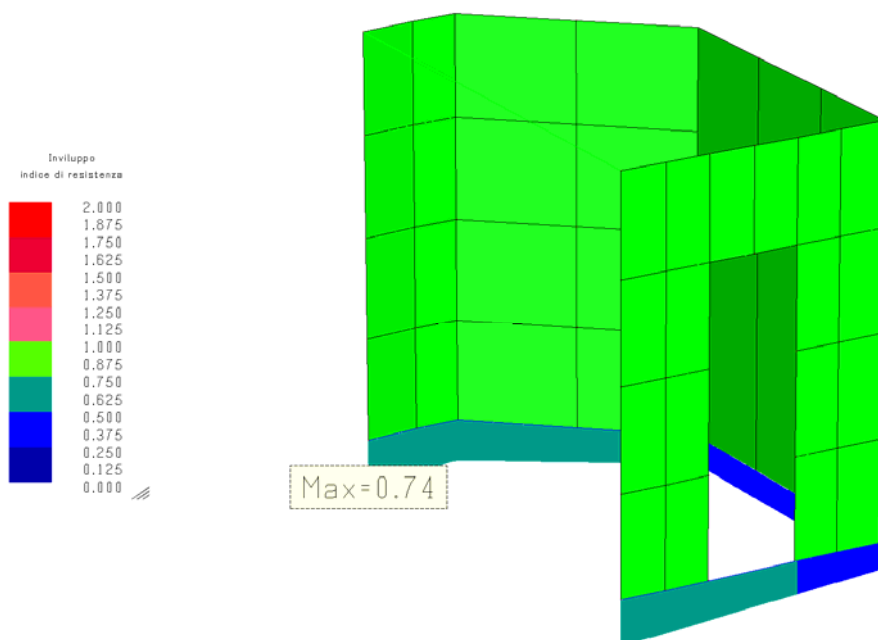
CORPO 4: indice di resistenza capacità portante a breve termine in condizioni statiche



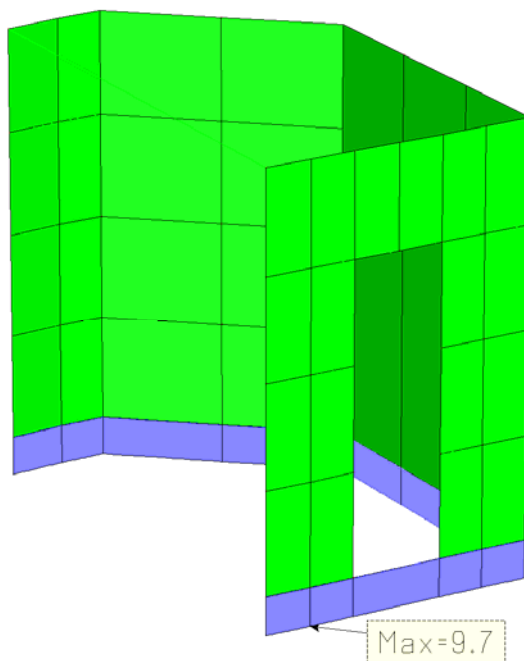
CORPO 4: carico limite ultimo in condizioni statiche lungo termine Brinch-Hansen



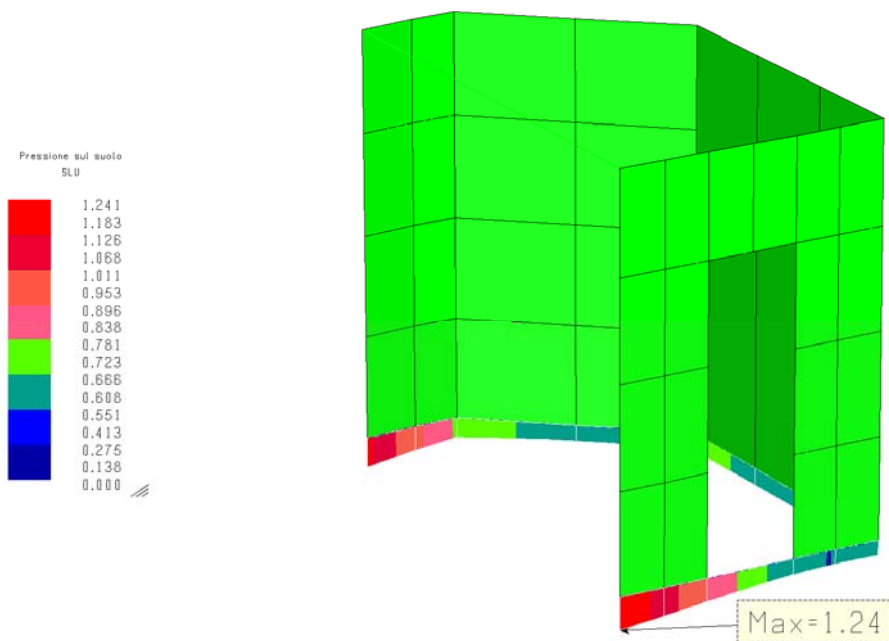
CORPO 4: indice di resistenza capacità portante a lungo termine in condizioni statiche



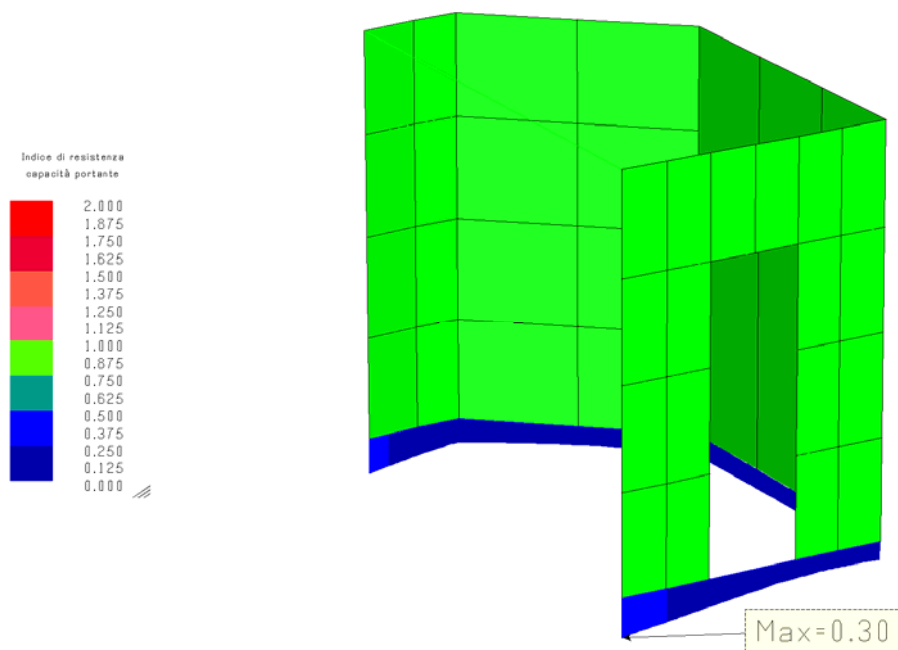
CORPO 4: carico limite ultimo in condizioni slv Tr 949 anni a breve termine Brinch-Hansen



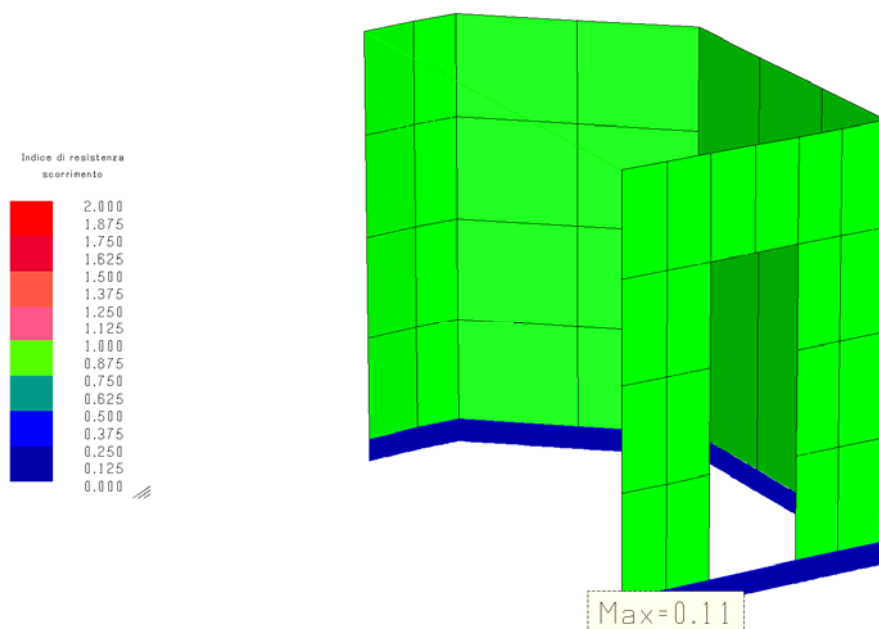
CORPO 4: pressione su suolo in condizioni slv Tr 949 anni



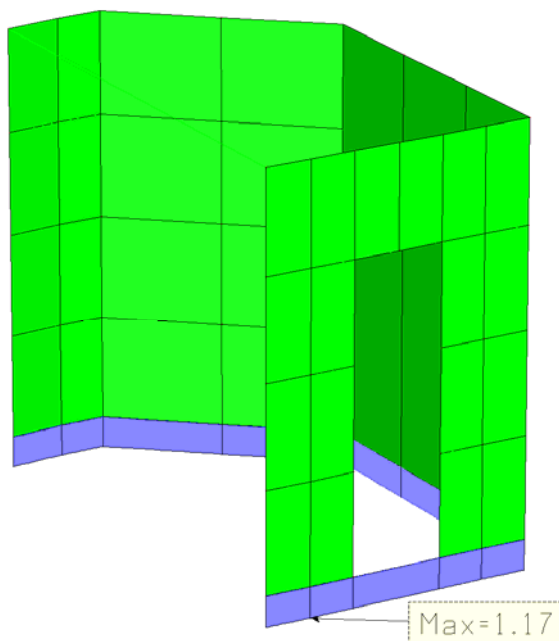
CORPO 4: indice di resistenza capacità portante a breve termine in condizioni slv Tr 949 anni



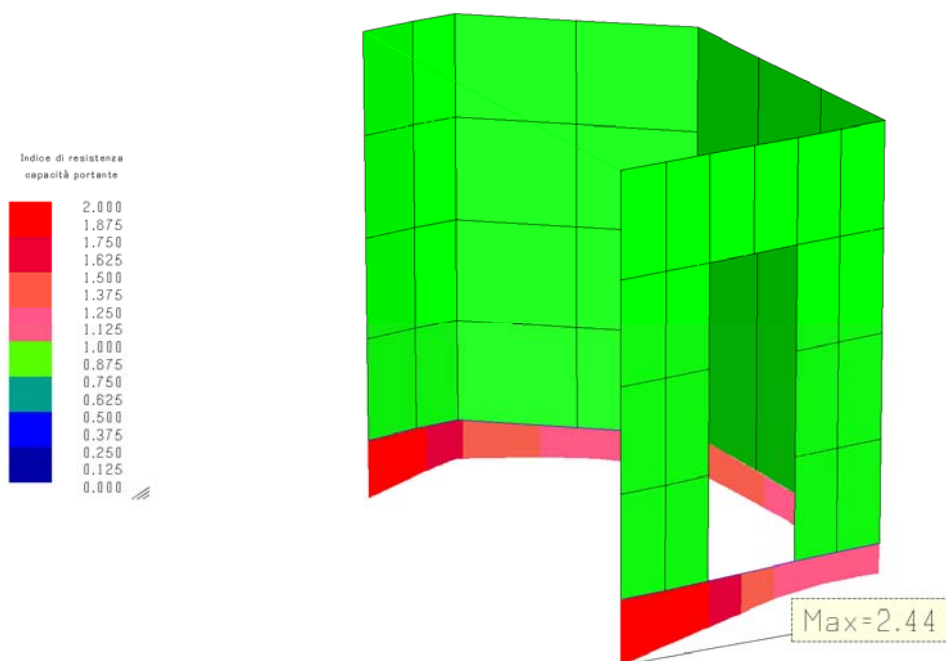
CORPO 4: indice di resistenza scorrimento a breve termine in condizioni slv Tr 949 anni



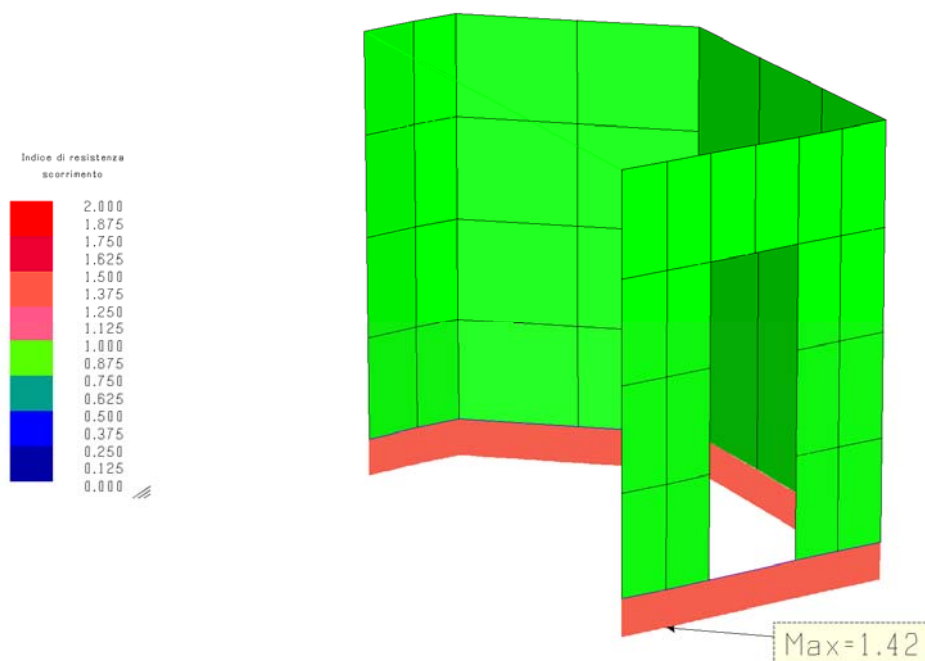
CORPO 4: carico limite ultimo in condizioni slv Tr 949 anni a lungo termine Brinch-Hansen



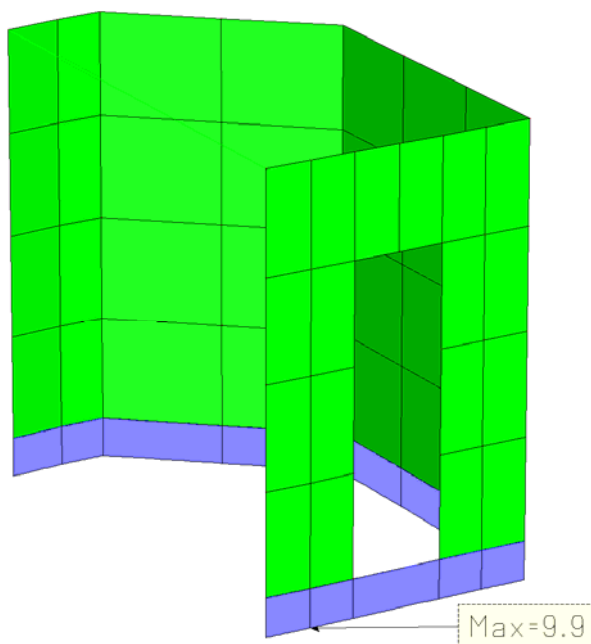
CORPO 4: indice di resistenza capacità portante a lungo termine in condizioni slv Tr 949 anni



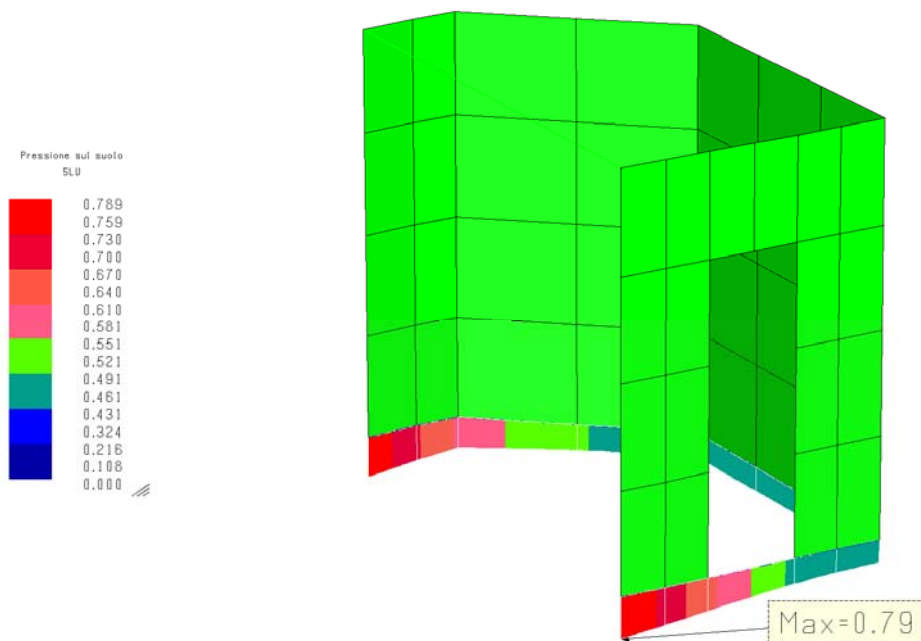
CORPO 4: indice di resistenza scorrimento a lungo termine in condizioni slv Tr 949 anni



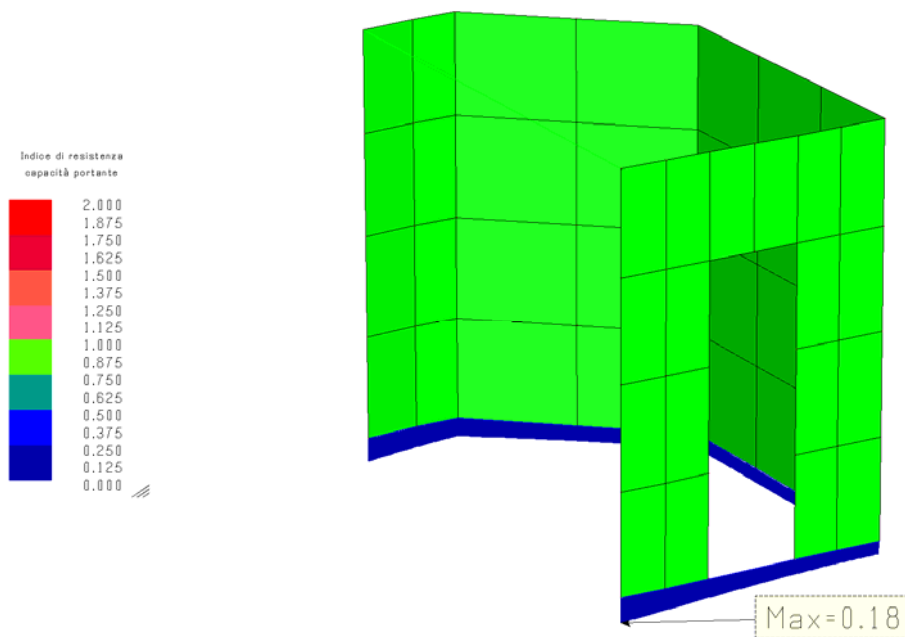
CORPO 4: carico limite ultimo in condizioni slv Tr 72 anni a breve termine Brinch-Hansen



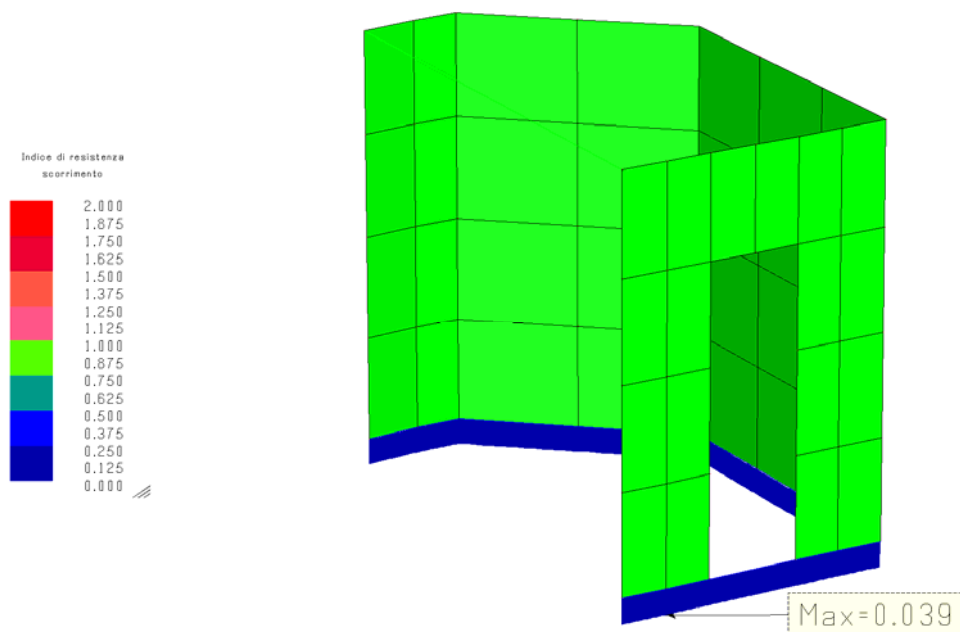
CORPO 4: pressione su suolo in condizioni slv Tr 72 anni



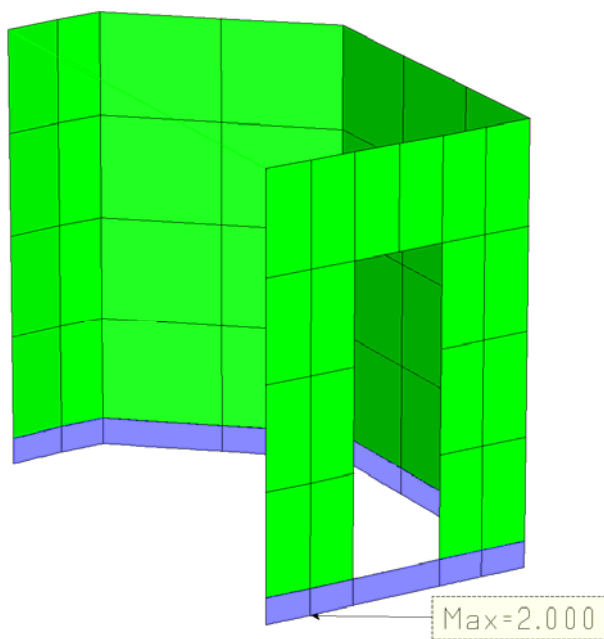
CORPO 4: indice di resistenza capacità portante a breve termine in condizioni slv Tr 72 anni



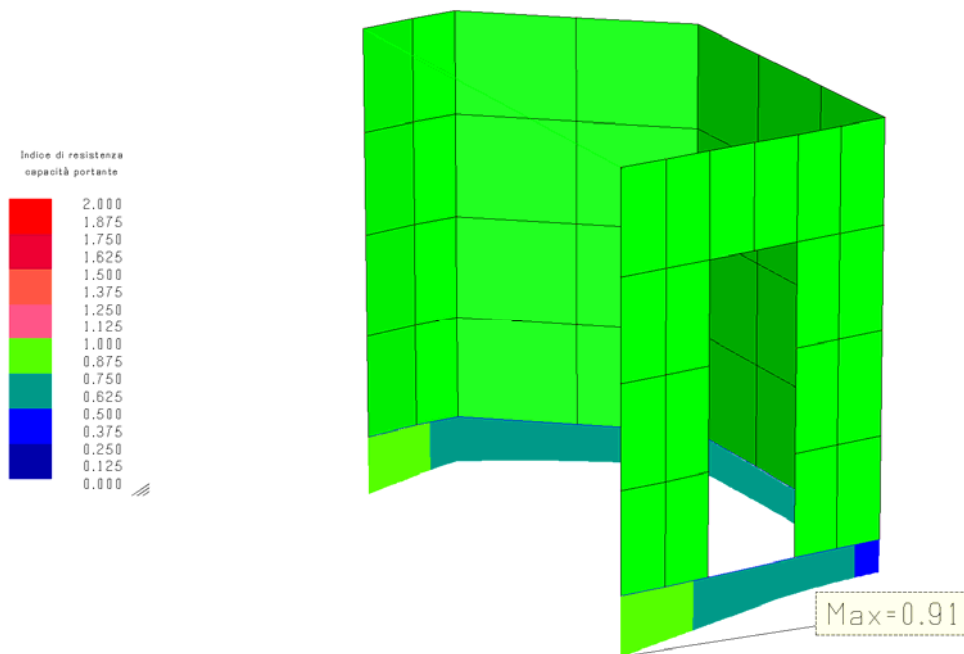
CORPO 4: indice di resistenza scorrimento a breve termine in condizioni slv Tr 72 anni



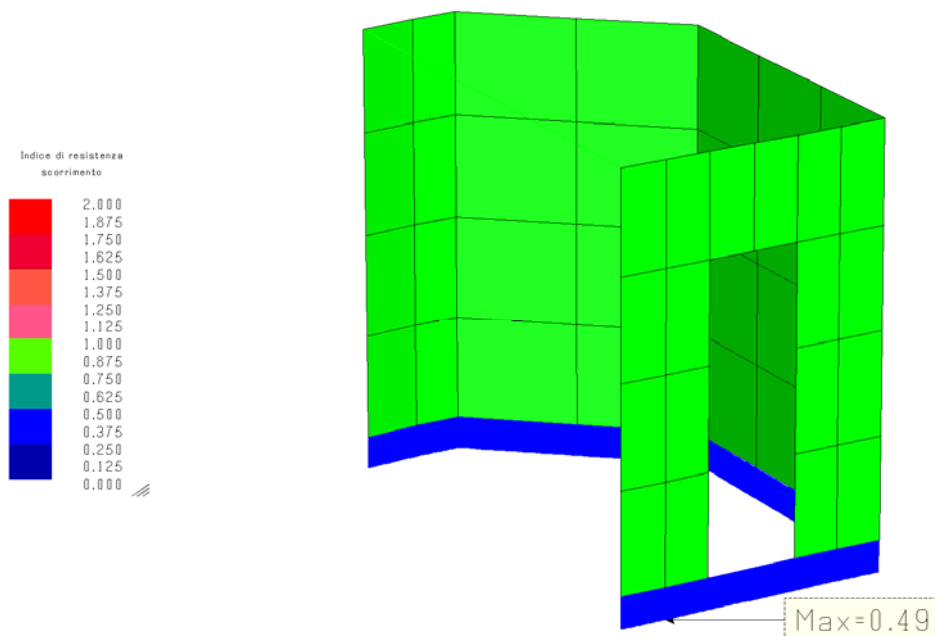
CORPO 4: carico limite ultimo in condizioni slv Tr 72 anni a lungo termine Brinch-Hansen



CORPO 4: indice di resistenza capacità portante a lungo termine in condizioni slv Tr 72 anni



CORPO 4: indice di resistenza scorrimento a lungo termine in condizioni slv Tr 72 anni



Nelle rappresentazioni sopra riportate, il carico limite ultimo per la capacità portante, deve essere diviso per il coeff. parziale $\gamma_R=2.3$ al fine di ottenere il carico limite di progetto da confrontare con la pressione su suolo. Ossia: indice di resistenza = pressione su suolo / (carico limite ultimo / γ_R).